

부유사 이동특성에 관한 연구

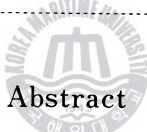
장 원 일

A Study on the Transport Characteristics of Suspended Sediment

Jang, Won Yil

< 目 次 >

- | | |
|------------------|------------|
| 1. 서 론 | 3. 결과 및 고찰 |
| 2. 부유사 농도계산 및 측정 | 4. 결 론 |



Abstract

In order to investigate the characteristics of the suspended sediment, the observed values obtained at study areas over one tidal cycle and computed values were used.

From the result of comparison between observed concentration and computed concentration are as follows ;

1. Computed concentrations by calculated shear velocity using the grain size are simular to those of the observed concentration in the study area.
2. Suspended concentrations oscilate in phase with the velocity and average concentration is 50ppt in the study area.

1. 서 론

퇴적물의 부유현상은 유수의 흐름 등에 의하여 내부마찰이 증가함으로 발생한다. Channel 혹은 Estuary에서의 부유사 발생 및 이동현상에 있어서 중요한 것은 그 특성 자

$$C/C_a = \left(\frac{h-z}{Z} \times \frac{a}{h-a} \right) Z_s \quad \dots \dots \dots \quad (3)$$

(3)식에서 h 는 전수심을 나타내며 suspension exponent Z_s 는 karman상수 k 와 마찰속도 U^* , 상수 B 에 의하여 $W_f/(BkU^*)$ 로 주어지는 값이다. (3)식에 의해 부유사 농도를 계산하는 과정에서 가장 문제가 되는 것은 U^* 값의 결정이다.

U^* 는 바닥부근의 유속값으로 결정하는 방법, 밀도와 바닥경사도에 의하여 결정하는 방법과 퇴적물 입경으로 결정하는 방법 등이 있다.

간편하면서 유속분포 계산에 자주 사용되는 logarithmic fit에 의한 U^* 값은 1조석주기 동안 표1과 같이 계산된다. 표1은 관측된 매 수심별 유속을 보간하여 U^* 값을 계산하고 이에 대한 stress와 해당입자의 입경에 의한 침강속도를 U^* 로 나눈 값과 Z_s 의 계산결과이다.

일반적으로 $Z_s=0.2-0.5$ 와 $W_f/U^*=0.08-0.8$ 사이에서 부유현상이 발생하는 최조건으로 알려져 있으나¹⁾ 표1에 나타난 결과는, 평균치는 $Z_s=0.62$, $W_f/U^*=0.126$ 으로 어느 정도 조건은 만족하나 W_f/U^* 값에서 부분적으로 부유사 발생의 조건이 되지 못하는 경우도 발생하였다.

또한 상기 표1과 동일한 방법으로 계산한 수차례의 관측치에 대한 계산 결과도 약 50% 정도가 부유조건이 되지 않는 결과로 나타났다.

그러므로 유속분포에 의한 U^* 값은 부유사 농도 계산에 부적당하다고 판단되어 본논문에서는 퇴적물 입경에 의해 결정되는 U^* 값을 사용하였다. 퇴적물 평균입경을 사용하여 U^* 를 계산하는 방법은 여러가지가 있으나⁶⁾ 다음의 5 가지 방법을 택하여 평균을 취하였다.

$$\text{Schocklitch 공식} : U^{*2} = 104.9d^{3/2}$$

$$\text{Kramer 공식} : U^{*2} = 26.95d$$

$$\text{Indri 공식} : U^{*2} = 21.5d + 1.19$$

$$\text{Krey 공식} : U^{*2} = 124.4d$$

$$0.0565 > d > 0.0065 : U^{*2} = 8.41d^{11/32}$$

상기 방법에 의한 평균치는 입자의 평균입경이 0.07mm일 경우 $U^* = 1.0\text{cm/s}$, $Z_s = 0.25$, $W_f/U^* = 0.1$ 이었다.

Table I Variation of U^* , Stress, Exponent and W_f/U^*

$U(\text{cm/s})$	$U^*(\text{cm/s})$	Stress (dyne/cm ²)	Exponent	W_f/U^*
53.02	2.2	5.4	0.34	0.068

37.97	1.2	1.4	0.63	0.13
5.46	0.61	0.38	1.2	0.25
30.55	2.0	4.0	0.38	0.076
34.03	1.8	3.3	0.42	0.084
46.24	4.5	21.0	0.17	0.033
27.75	2.3	5.2	0.33	0.067
30.87	0.31	0.1	2.4	0.48
52.61	1.1	1.2	0.69	0.14
68.19	1.4	1.9	0.55	0.11
83.22	1.6	2.5	0.48	0.096
68.17	3.0	9.5	0.25	0.049
57.56	2.7	7.5	0.28	0.055
Average				
45.82	1.9	4.85	0.62	0.126

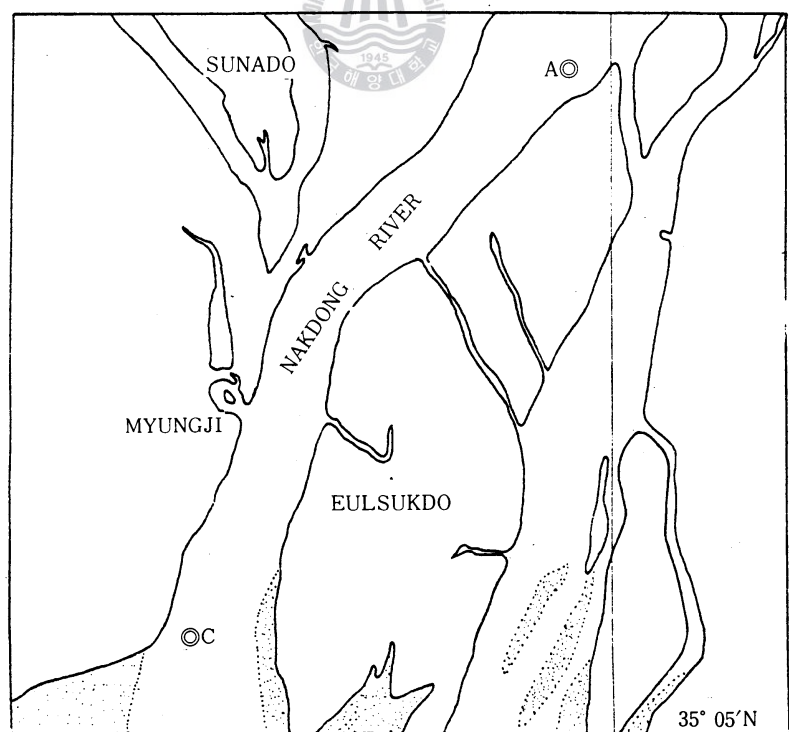


Fig 1 Study area

그림 1에 나타낸 A, C지점은 부유사 sampling 및 유속 측정지점을 표시한 것이다. 시료는 채수기를 이용하여 시간별로 표층, 중층, 저층에 대해 시료를 채취하였으며, 선상에서 채취한 시료는 용기에 보관 후 실험실에서 침강법에 의해 일차 청수를 제거한 후 2차로 여과법에 의해 부유사를 분리하여 건조하였다. 건조된 부유사는 중량 측정을 한 다음 관측점 별로 모아 입도 분석을 하였다.

Sampling지점은 장마철의 부유사 이동특성을 고찰하기 위한 1985년도 관측과 동일한 위치로 하였으며 퇴적물 평균입경은 입도 분석결과에 의하여 0.07mm로 하였다.

3. 결과 및 고찰

표 2, 3은 연구수역의 관측점 A, C에서 관측된 유속 등의 자료를 보간법에 의해 전수심에 대해 보간한 결과와 부유사 농도 및 이동량을 식 (3)에 의해 계산한 결과를 나타낸 것으로 유속에 대한 부유사 농도 및 이동량의 수심에 대한 값이 수심에 따라 부유사의 농도가 증가하는 일반적인 형태를 보여주고 있다.

그림 2, 4는 대조시의 상대수심에 대한 유속, 부유사의 계산 농도 및 실측 농도를 나타낸 것이고, 그림 3, 5는 소조시의 상대수심에 대한 결과를 관측점 A, C에 대해 나타낸 것이다. 그림에 나타난 바와 같이 상대수심에 대한 유속 및 계산 농도는 거의 일치하므로 상기 방법에 의한 부유사 농도의 계산은 타당한 방법이라 생각된다.

계산에 사용한 부유사의 입경은 관측결과 나타난 입도분포 곡선에서 50% 이상을 차지하고 있는 0.07mm를 선택하였고, 마찰속도를 유속분포에 의한 방법이 아닌 입경에 기초를 둔 방법에 의해 계산하였다.

그림 6의 관측점 C에서 1조석 주기 동안의 유속분포 특성과 그림 7의 부유사 농도 분포의 특성을 비교하면, 부유사 농도는 대조와 저조의 전향시간인 1900와 2400에서 최소 농도를 저조시에는 0300에서 고조시에는 2200경에서 최대 농도를 나타내고 유속 역시 동일한 시간에 최대, 최소값을 나타낸다.

반면에 이동 부유사 양은 저조시에 최소, 고조시에는 최대값을 나타내므로 1조석 주기 동안 부유사 농도는 유속변화와 동일한 특성을 가지고, 부유사 이동량은 유속분포와 시간적 차이를 가진다고 할 수 있다.

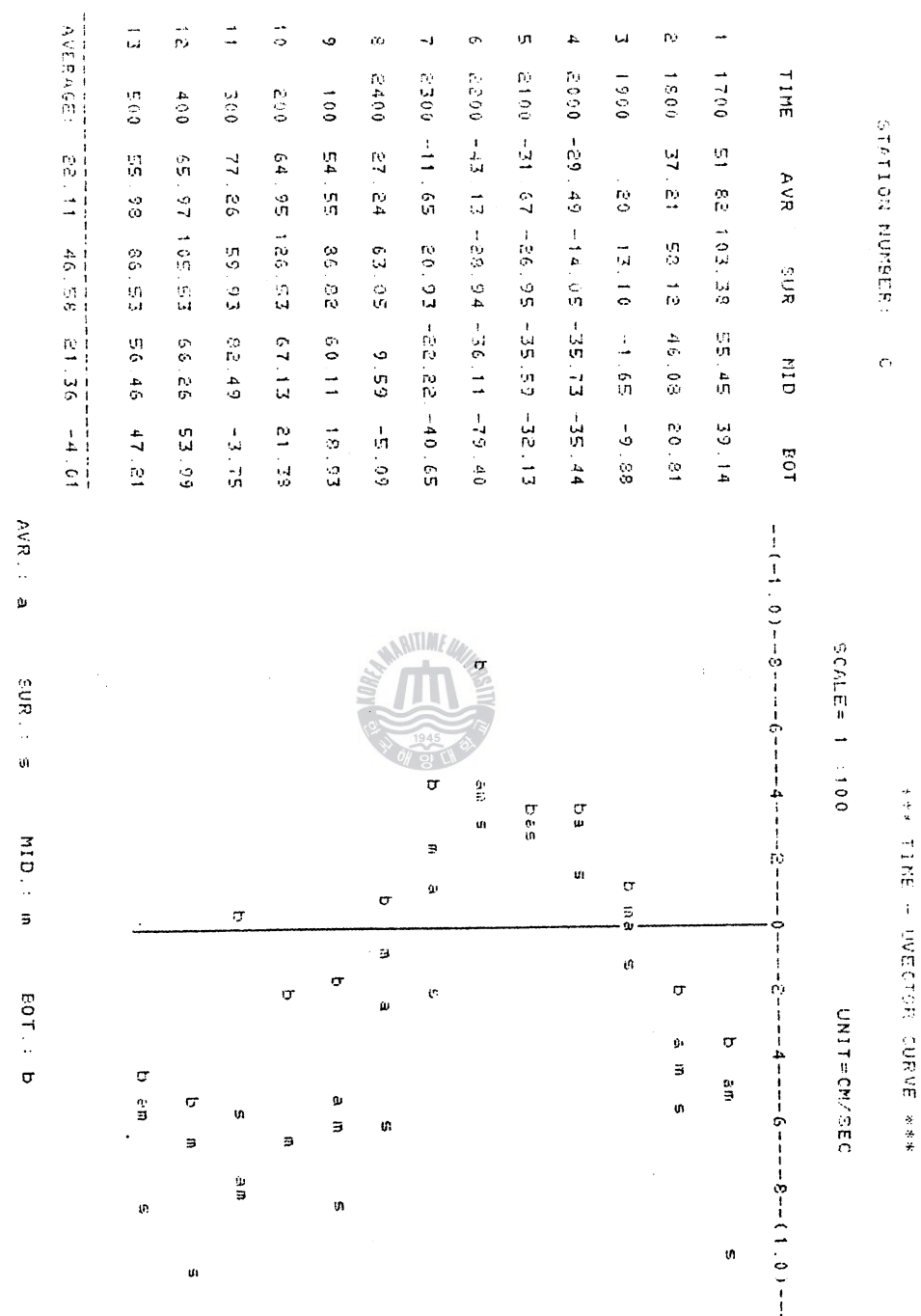


Fig. 6 Time Variation of Velocity(Feb. 16~17, 1987)

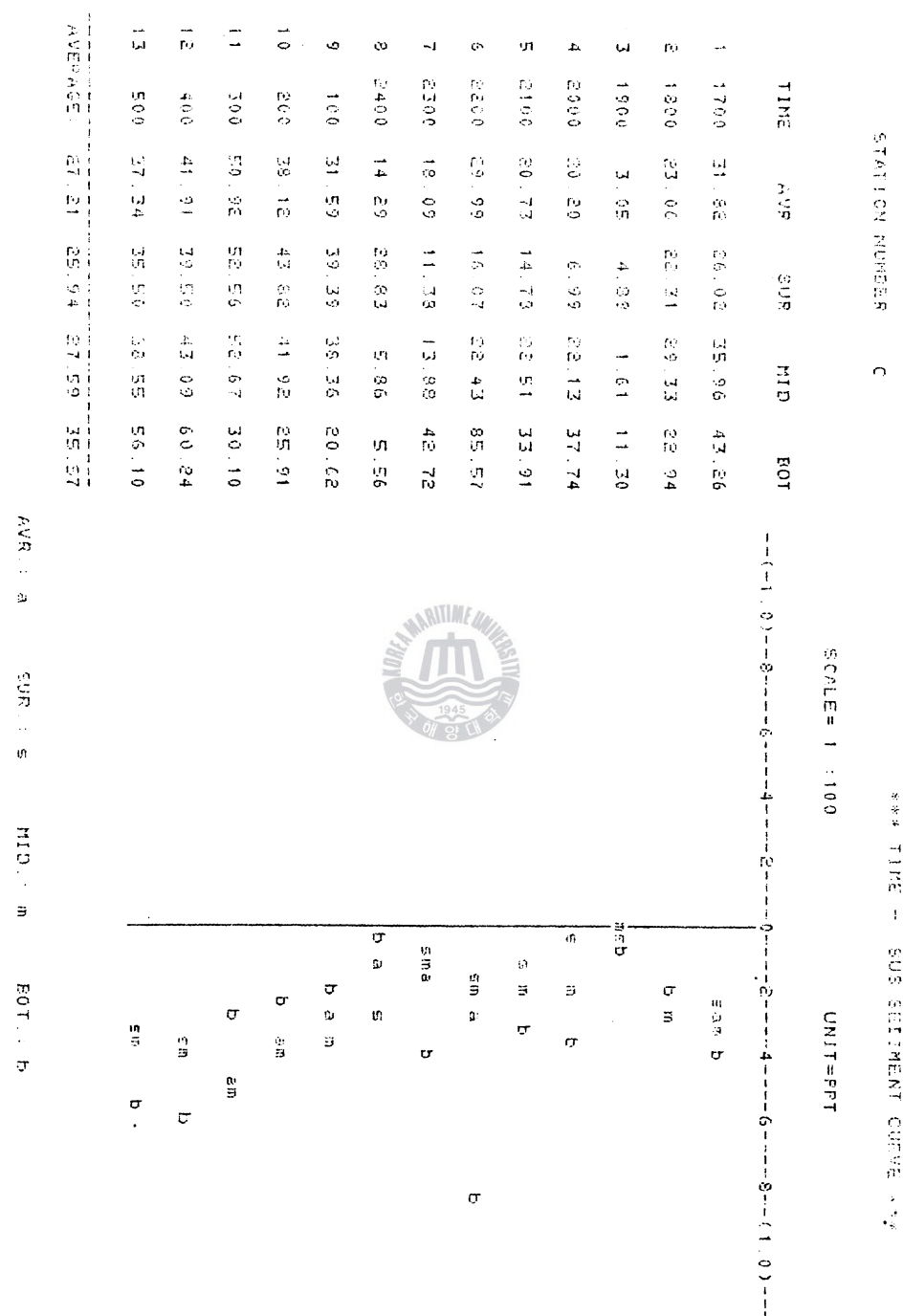


Fig. 7 Time Variation of Concentration(Feb. 16~17, 1987)

홍수기의 경우는 유속은 거의 일정하게 하류향을 나타내므로 조석에 의한 와류현상으로 인하여 유속분포와 부유사 농도분포가 시간변화에서 약 2시간의 최대 최소 시차를 나타내고, 유속이 조석의 영향을 많이 받는 갈수기의 경우 부유사 농도는 동일한 시간 변화 특성을 나타내나 이동량에서 시차를 나타낸다.

그림 8, 9는 관측점 A에서 1조석 주기 동안의 유속 및 부유사 농도분포를 나타낸 것으로 대조와 저조 시간대에서 관측점 C와 거의 동일한 최대 최소 시간 특성을 가짐으로 유속과 부유사 농도의 조석주기 동안의 분포가 동일한 변화 특성을 가짐을 확인할 수 있다.

그림 7과 9의 부유사농도의 시간분포에서 관측점 C의 경우에 비해 관측점 A의 경우 저층의 부유사 분포가 전조적 주기에 걸쳐 중, 상층에 비해 상당히 큰값을 보이고 있다.

이와 같이 관측점 A, C에서 중, 상층의 부유사 농도는 비슷한 반면에 저층의 경우 차 이를 보이는 것은 C의 수심이 얕은 하류지역으로 A에 비해 바닥의 상태가 상당히 고름을 생각할 수 있고, 지형적으로 관측점 C가 A에 비해 직선적이기 때문이라 생각된다.

그림 10, 11은 실제 관측된 부유사농도의 1조석주기 동안 변화를 나타낸 것으로 전반적으로 계산 결과의 변화와 비슷함을 알 수 있다.

표 4는 각 수심에 의해 보간된 유속에 U/U^* 와 이에 대한 부유사 농도 및 이동량의 계산 결과를 나타내고, 계산 결과와 비교하기 위하여 실제 관측된 부유사 농도를 관측점 A, C에 대해 수치로 표시한 것이다. 관측점 C에서 계산된 부유사 농도는 60.54ppt, 이동량은 단위시간당 $27.65g/l$ 인 반면에 실제 관측한 부유사농도는 47.2ppt를 나타내고, 관측점 A에서는 계산 부유사 농도가 52.01ppt, 이동량이 $18.22g/l$ 인 반면에 실측치는 52.6ppt를 나타낸다. 표 4에 나타난 결과는 계산에 의한 농도와 실측에 의한 농도가 거의 비슷한 것으로 볼 수 있고 연구수역에서 갈수기 동안의 부유사 농도는 약 50ppt로 추정할 수 있다.

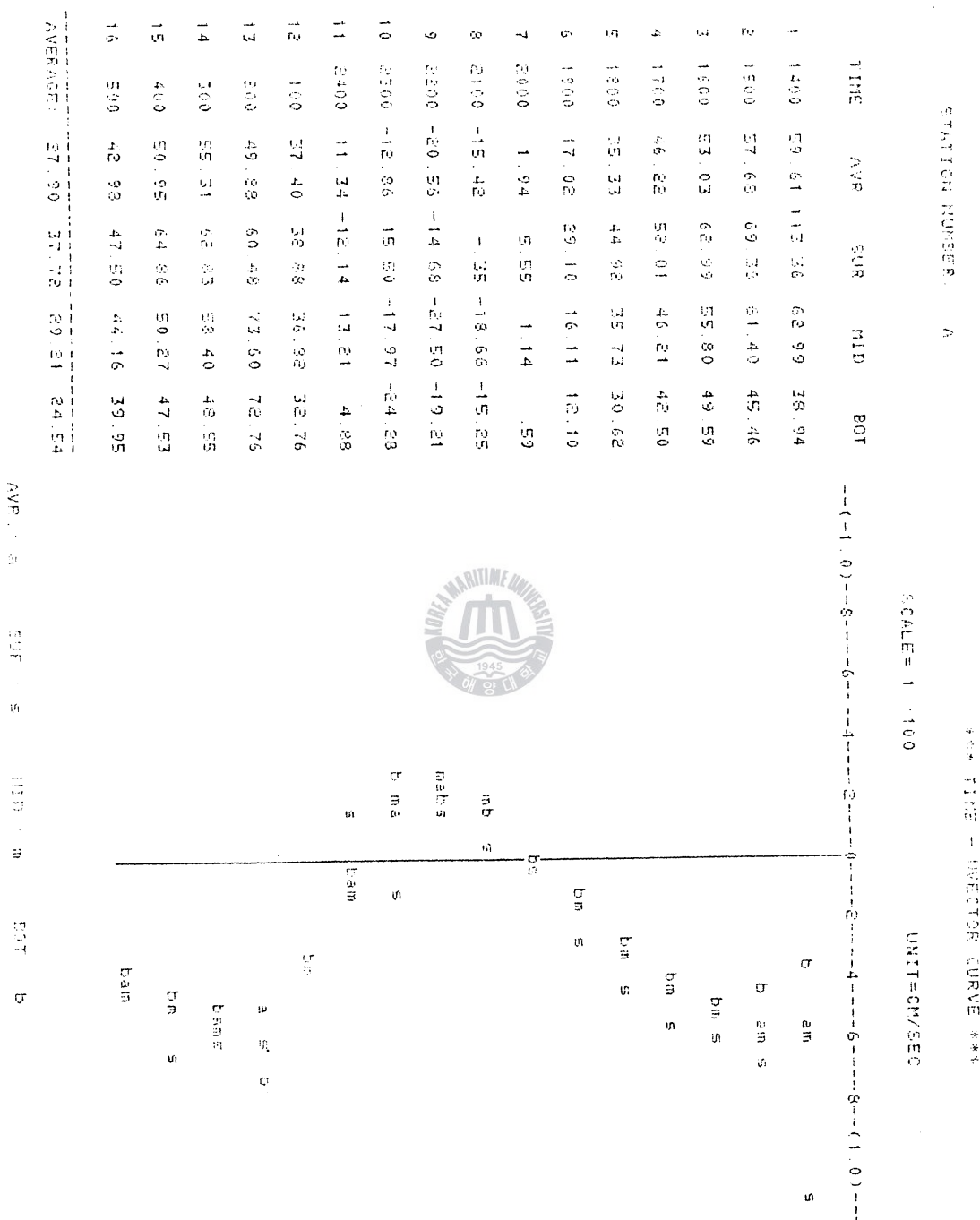


Fig. 8 Time Variation of Velocity(Feb. 16~17, 1987)

STATION NUMBER: A

SCALE = 1 : 100

UNIT = PPT

*** TIME - GUS SEDIMENT CURVE ***



14 1988年 6月 韓國海洋大學 海事基礎科學研究所 論文集 第3輯

AVR : a SUR : s MID : m BOT : b



Fig. 9 Time Variation of Concentration(Feb. 16~17, 1987)

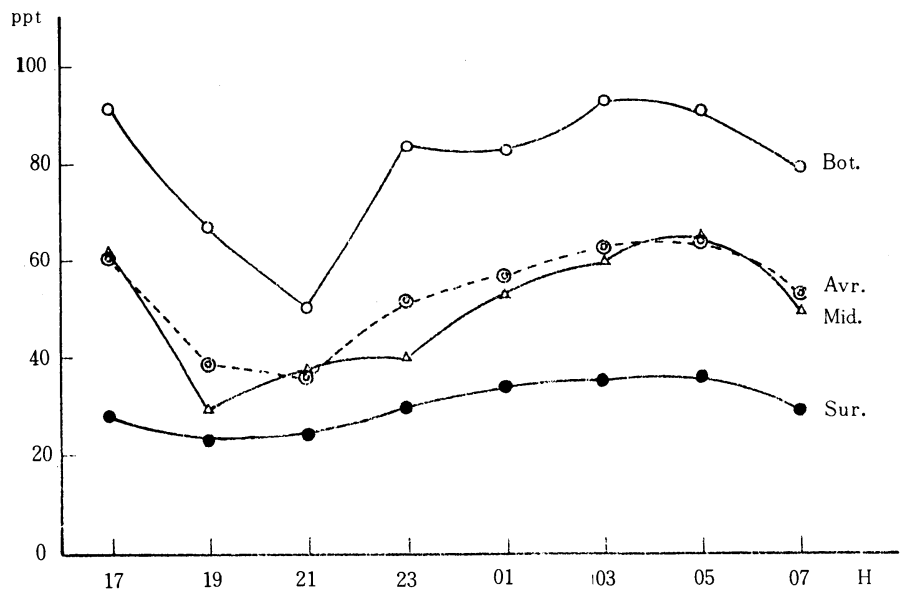


Fig. 10 Time Variation of Concentration(Observed)

(Station "A", Feb. 16~17, 1987)

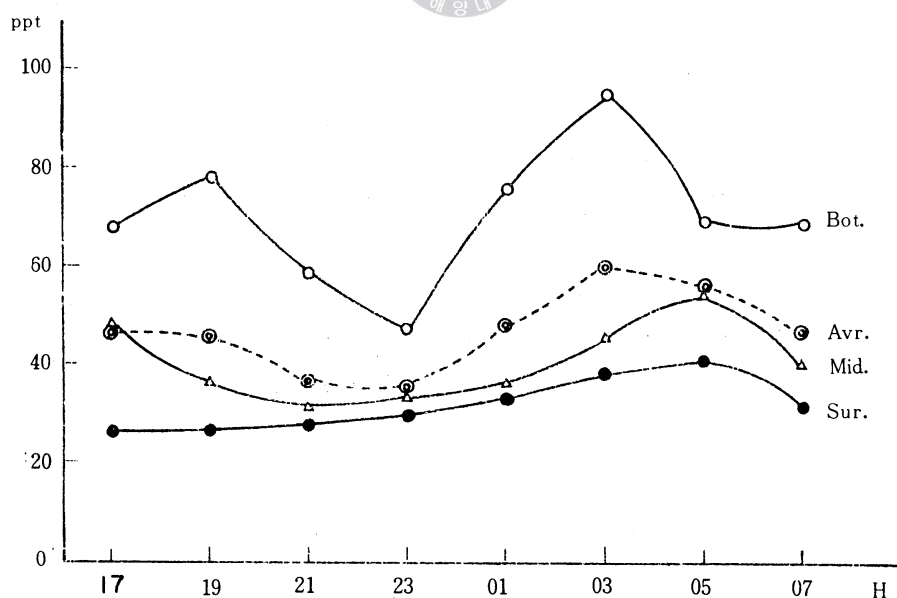


Fig. 11 Time Variation of Concentration(Observed)

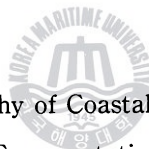
(Station "C", Feb. 16~17, 1987)

4. 결 론

관측된 유속 등의 자료를 중심으로 부유사 농도를 계산하고, 실제 측정한 부유사 농도와 비교한 결과 다음의 결론을 얻을 수 있었다.

- (1) 유속분포에 의한 부유사농도 계산 결과에 비해, 퇴적물 입경으로 결정된 마찰속도에 의하여 계산된 부유사농도가 실측치와 근접하는 결과를 나타내었다.
- (2) 갈수기에서 뷰유사농도의 경우 조석주기 동안 유속분포와 동일한 시간 변화를 가진다.
- (3) 연구수역의 부유사농도는 약 50ppt이고, 수직분포는 중, 상층에서는 비슷하나 저층은 바다상태 등에 따라 달라진다.

References



1. Bowden, K. F., Physical Ocenography of Coastal Waters, 1983.
2. H. A. Einsteine, Formulas for the Transportation of Bed Load, U. S. Dept.
3. Jang, W. Y., A Study on the Calculation of the Quantity of Soil Transported at the Lower Nakdong River, T. of the Marine Basic Science Reserch Institute of Korea Maritime Uni., Vol. 1, 1984.
4. Jang, W. Y., A Study on the Transportation of Suspended Sediment at the Mouth of Nakdong River, T. of the Marine Basic Science Reserch Institute of Korea Maritime Uni., Vol. 2, 1985.
5. Joe, C. W., Suspended Load from Error Fuction Models, J. of the Hydraulic Division, HY7, 1979.
6. R. Garde, Rang Raju, Mechanics of Sediment Transportation and Alluvial Stream Problems, 1978.
7. Reizers, J. A., Numerical Study of Continuous Saltation, J. of the Hydraulic Division, HY9, 1978.





論 文 集 第 3 輯

〈非賣品〉

發行日 1988年 6月 15日

發行所 韓國海洋大學
海事基礎科學研究所
釜山市影島區東三洞 1番地
電話 414-0181~9

印刷所 影島製冊印制社
釜山市影島區蓬萊洞 4街50-25
電話 412-7149, 413-6565

